

09.2

## Пространственные оптические ловушки на основе многопучковой интерференции

© Н.В. Шостка (Ляхович), Б.В. Соколенко, О.С. Каракчиева (Сидоренкова), В.И. Шостка

Крымский федеральный университет им. В.И. Вернадского, Симферополь, Россия  
E-mail: nataliya\_shostka@mail.ru

Поступило в Редакцию 9 апреля 2020 г.

В окончательной редакции 9 апреля 2020 г.

Принято к публикации 29 июля 2020 г.

Представлена модель формирования пространственных оптических ловушек для захвата, перемещения и угловой ориентации микрочастиц на основе суперпозиции нескольких гауссовых пучков в различной геометрической конфигурации с управляемыми параметрами.

**Ключевые слова:** оптическая ловушка, интерференция, гауссов пучок.

DOI: 10.21883/PJTF.2020.22.50299.18332

Контролируемый захват микрообъектов в различных средах, а также манипулирование их пространственным положением вдоль заданных траекторий с помощью света является одним из актуальных приложений лазеров с момента их появления. Актуальной задачей современных исследований является дальнейшее усовершенствование метода оптического пинцета и различных его конфигураций как прекрасного прикладного высокоточного инструмента в биологии и медицине для осуществления неинвазивного пространственного позиционирования биологических объектов в естественной среде. Для большинства современных прикладных задач реализации оптического захвата используются трехмерные оптические ловушки, представляющие собой равномерно окруженную максимумами интенсивности область с минимальной интенсивностью света [1,2]. Такие оптические структуры могут быть получены как в когерентном, так и в частично когерентном свете, например, при помощи аксикона [3,4].

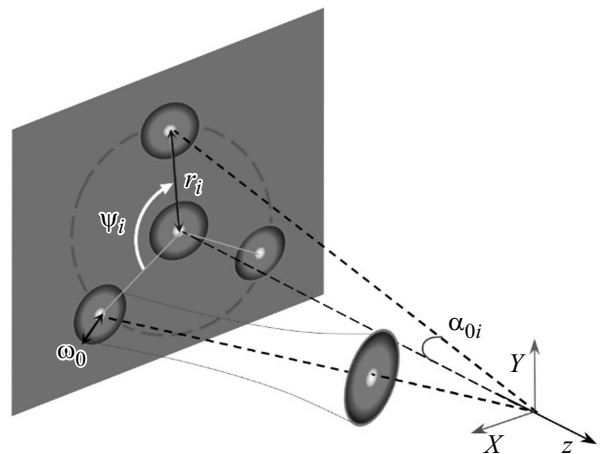
Одним из знаковых моментов, повлиявших на развитие современной оптики, в том числе и направления реализации оптических ловушек, является создание пространственных световых модуляторов (SLM), позволяющих достаточно просто и точно формировать различные оптические пучки, а также их массивы, свойства которых можно изменять независимо и в режиме реального времени [5,6]. В [7,8] проанализирован процесс параметризации ловушки с помощью реконфигурируемых массивов пучков высшего порядка, включающих как скалярные сингулярные пучки, так и векторные с радиальным и азимутальным распределениями поляризации в одной и той же конфигурации системы ловушек.

Цель данного исследования состоит в разработке метода синтеза пространственных оптических ловушек за счет интерференционных эффектов определенного числа (от трех до пяти) лазерных пучков, управляемыми параметрами суперпозиции которых являются углы наклона

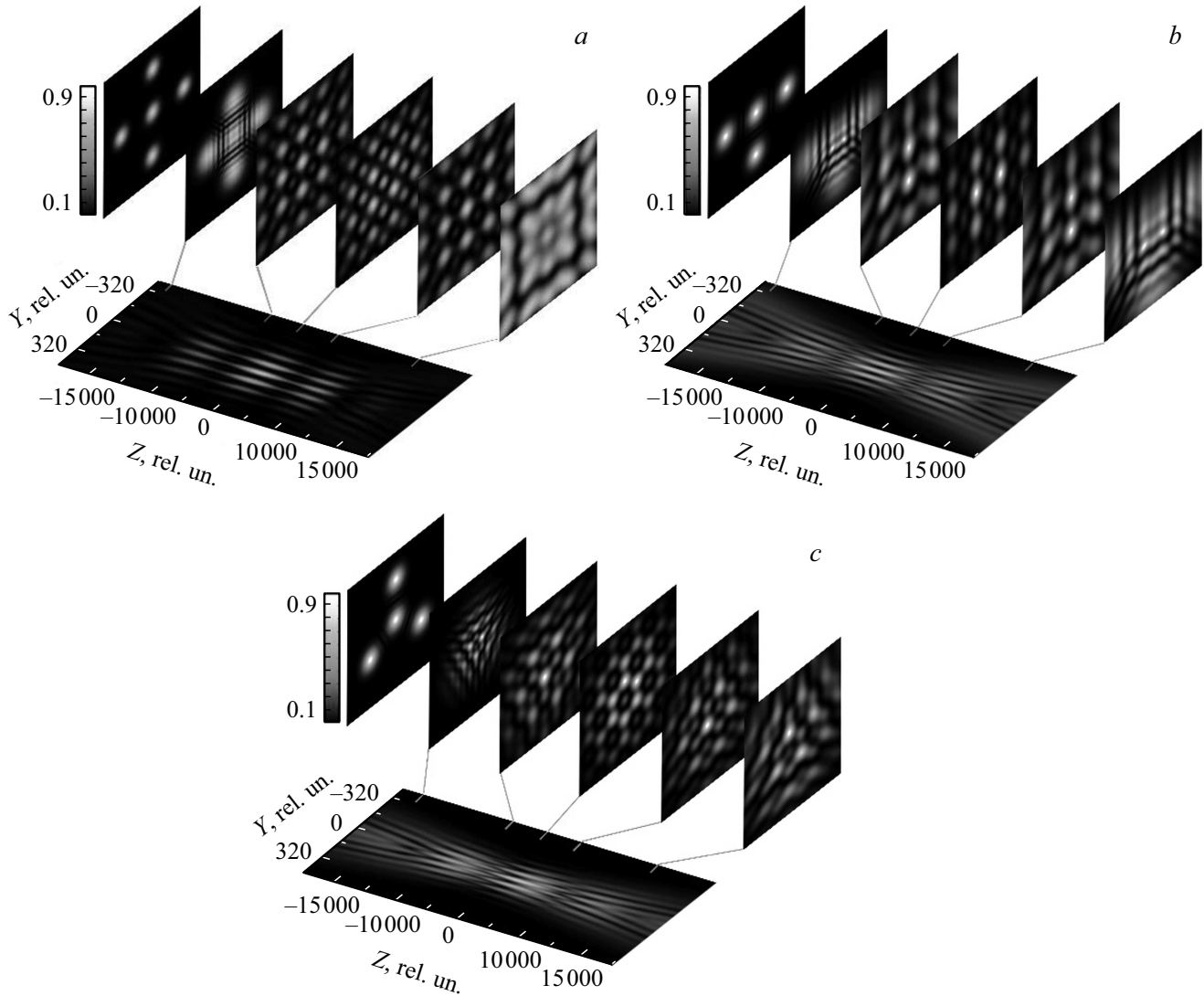
и прецессии относительно оси распространения, а также линейный сдвиг в поперечной плоскости от данной оси.

Отметим, что формирование тонкой интерференционной двумерной структуры на основе трех гауссовых пучков встречается в исследованиях [9,10], направленных на решение прикладных задач микро- и нанолитографии, в фотонных кристаллических устройствах [11] и микроскопии [12]. В качестве пространственной трехмерной структуры для захвата и удержания микрообъектов данные решения рассматривались частично в [2], а анализ пространственной эволюции поля в продольной и поперечной плоскости ранее не проводился.

Рассмотрим распространение монохроматического наклонного гауссова пучка с длиной волны  $\lambda$  под некоторым малым углом  $\alpha_0$  к оси  $z$  (рис. 1, *a*), при этом мы ограничимся парааксиальным приближением, что накладывает условие вида  $\sin \alpha_0 \ll 1$ , так что  $\cos \alpha_0 \approx 1 - \alpha_0^2/2$ . Напряженность электрического поля пучка будем описывать выражением



**Рис. 1.** Геометрия распространения интерферирующих пучков в пространстве для случая четырех пучков, сходящихся под углом  $\alpha_0$  к оси распространения  $z$ .



**Рис. 2.** Рассчитанные интерференционные картины суперпозиции пяти (a) и четырех (b, c) пучков с различной конфигурацией взаимного расположения, формирующие пространственные ловушки „закрытого“ типа за счет центрального осевого пучка.

$E = \tilde{E}(x, y, z) \exp(-ikz + i\varphi)$ , где  $\varphi$  — начальная фаза,  $k = 2\pi/\lambda$  — волновое число,  $\tilde{E}$  — комплексная амплитуда, удовлетворяющая уравнению Гельмгольца

$$\partial_x^2 \tilde{E} + \partial_y^2 \tilde{E} - 2ik\partial_z \tilde{E} = 0. \quad (1)$$

Простейшим решением данного уравнения является параксиальный гауссов пучок, в рассматриваемом случае распространяющийся наклонно по отношению к оси  $z$  и характеризующийся преобразованием координат в плоскости  $xOz$  вида  $x \rightarrow X = x + i\alpha_0 z_0$ , а в плоскости  $yOz$  — вида  $y \rightarrow Y = y + i\alpha_0 z_0$ , где  $z_0 = k_0 \omega_0^2 / 2$ ,  $\omega_0$  — радиус перетяжки пучка в плоскости  $z = 0$  [13]. С учетом всех параметров (угла прецессии  $\psi_i$  — поворота вокруг оси  $z$  — и смещения центра пучка в поперечной плоскости  $z = 0$  от оси на величину  $r_i$ ) окончательный вид преобразования координат запишется в виде

$$\begin{aligned} X &= (i\alpha_0 z_0 + x) \cos \psi_i + (y + r_i) \sin \psi_i, \\ Y &= (i\alpha_0 z_0 - x + r_i) \sin \psi_i + y \cos \psi_i. \end{aligned}$$

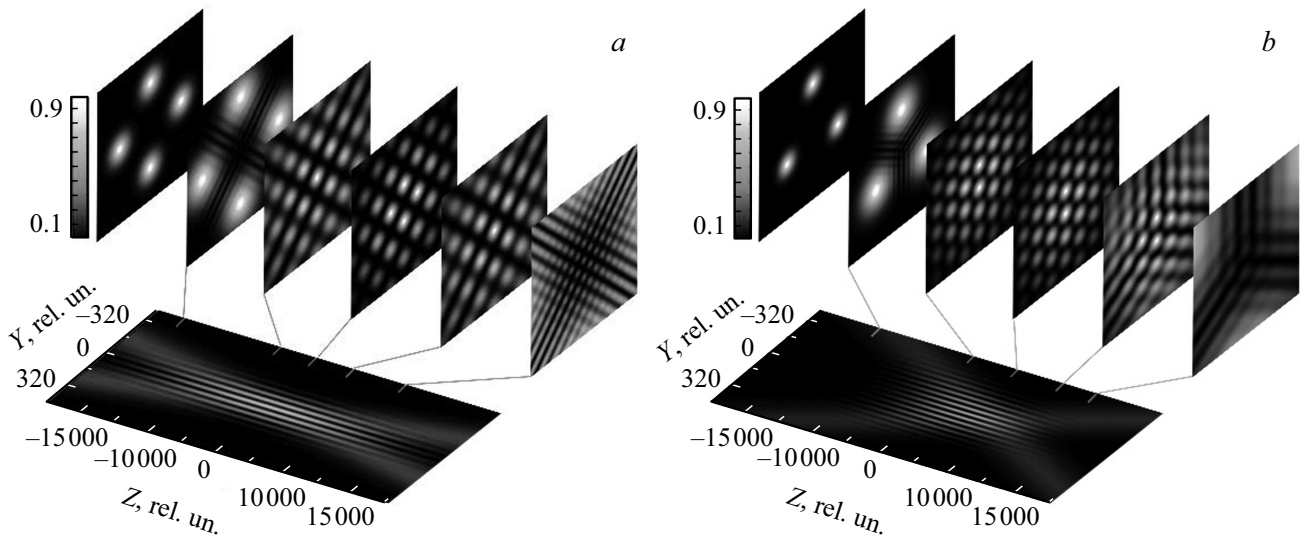
Решением уравнения (1) является комплексная амплитуда с гауссовой образующей

$$\begin{aligned} \tilde{E}_i(X, Y, z) &= \frac{1}{1 - iz/z_0} \exp \left[ -\frac{X^2 + Y^2}{\omega_0^2 (1 - iz/z_0)} \right] \\ &\times \exp(-\alpha_0^2 k z_0). \end{aligned} \quad (2)$$

По определению распределение интенсивности поля интерферирующих волн описывается выражением [10]:

$$I(X, Y, z) = \sum_{i=1}^N |E_i|^2 + \sum_{i \neq j}^N E_i E_j,$$

представляющим собой сумму квадратов амплитуд и интерференционные члены пар пучков с соответствующими индексами  $i, j$ , которые изменяются в нашем случае в диапазоне от 1 до  $N$ , где  $N$  — число интерферирующих пучков, амплитуда которых определяется



**Рис. 3.** Рассчитанные интерференционные картины суперпозиции четырех (а) и трех (б) пучков, формирующие пространственные ловушки „открытого“ типа.

выражением (2) и в простейшем случае может быть одинаковой для всех пучков. Таким образом, геометрическая пространственная структура интерференционного поля будет описываться соответствующим набором параметров  $\psi_i$ ,  $r_i$  и  $\alpha_{0i}$  отдельного пучка. На рис. 2 представлены результаты численного моделирования распространения  $N$  пучков различной конфигурации с осевым центральным пучком и соответствующая им динамика интерференционной картины. Масштаб приведен в относительных единицах  $z/\lambda$ ,  $Y/\lambda$ .

Характер формирования интерференционных минимумов и максимумов в виде структуры ячеек на рис. 2, а обусловлен одинаковым углом наклона пучков по отношению к центральному пучку на угол  $\alpha_{0i} = 0.03 \text{ rad}$  и равным расстоянием от его оси. Такое расположение пучков дает равномерную локализацию максимумов и минимумов интенсивностей как в поперечной, так и в продольной плоскости, расстояние между ближайшими максимумами равно  $d = \lambda/(\sqrt{2} \sin \alpha_{0i})$  [11]. Для случая, изображенного на рис. 2, б, несимметричное расположение пучков обуславливает снижение контраста и деформацию структуры максимумов.

Картина заметно изменяется при симметричном расположении трех периферических пучков относительно центрального на одинаковом расстоянии  $r_i$ , как показано на рис. 2, с. В данном случае центральный пучок позволяет сформировать ловушки в „закрытом“ состоянии: каждый минимум интенсивности окружен соседними максимумами, расположенными в продольной и поперечной плоскостях. Такие локальные структуры известны также как „бутылочные“ пучки [14]. При этом в поперечной плоскости формируется гексагональная структура с ярко выраженным центральным минимумом. Полученная симметрия поля пучка может быть использована для захвата поглощающих свет частиц, размеры которых превышают  $d$ , в центральную область

с минимумом интенсивности, а более мелких объектов с высоким показателем преломления — в ячейки с максимумом интенсивности.

Отдельно следует отметить генерацию „открытых“ ловушек при отсутствии осевого пучка (рис. 3, а, б). Тонкая периодическая структура в продольном направлении разрушается, тем не менее в поперечном сечении пучков наблюдаются ячейки с ярко выраженными максимумами интенсивности округлой формы, в свою очередь являющиеся „открытыми“ в продольном направлении. Такая геометрия суперпозиции пучков может быть использована для двумерного захвата и поворота массива объектов с показателем преломления больше показателя окружающей среды.

Полученные результаты демонстрируют возможность применения суперпозиции трех и более пучков для генерации пространственных оптических ловушек — „бутылочных“ пучков. Управление расположением ловушек в виде квазипериодической структуры минимумов и максимумов интенсивности обеспечивается изменением параметров конфигурации интерферирующих пучков: угла наклона пучков относительно оси распространения, их взаимного расположения и количества. Такой подход позволяет создать простой механизм реализации оптических манипуляторов на практике с применением пространственных световых модуляторов, амплитудных экранов и интерферометров на основе деления волнового фронта.

### Финансирование работы

Работа выполнена при поддержке Российского фонда фундаментальных исследований и Совета министров Республики Крым (грант № 19-42-910010 p\_a), а также стипендии Президента РФ молодым ученым № СП-745.2019.4.

## Конфликт интересов

Авторы заявляют, что у них нет конфликта интересов.

## Список литературы

- [1] Arlt J., Padgett M.J. // *Opt. Lett.* 2000. V. 25. N 4. P. 191–193. DOI: 10.1364/OL.25.000191
- [2] Shvedov V.G., Hnatovsky K., Shostka N.V., Rode A., Krolikowsky W. // *Opt. Lett.* 2012. V. 37. N 11. P. 1934–1936. DOI: 10.1364/OL.37.001934
- [3] Yang Z., Lin X., Zhang H., Xu Y., Jin L., Zou Y., Ma X. // *Opt. Lasers Eng.* 2020. V. 126. P. 105899. DOI: 10.1016/j.optlaseng.2019.105899
- [4] Yang Z., Lin X., Zhang H., Ma X., Zou Y., Xu L., Xu Y., Jin L. // *Appl. Opt.* 2019. V. 58. N 10. P. 2471–2480. DOI: 10.1364/AO.58.002471
- [5] Porfirev A.P., Dubman A.B., Porfiriev D.P. // *Opt. Lett.* 2020. V. 45. N 6. P. 1475–1478. DOI: 10.1364/OL.386907
- [6] Ghebjagh S.G., Fischer D., Sinzinger S. // *Appl. Opt.* 2019. V. 58. N 32. P. 8943–8949. DOI: 10.1364/AO.58.008943
- [7] Bhebbe N., Williams P., Rosales-Guzmán C., Rodríguez-Fajardo V., Forbes A. // *Sci. Rep.* 2018. V. 8. P. 17387. DOI: 10.1038/s41598-018-35889-0
- [8] Gong Z., Pan Y., Videen G., Wang C. // *J. Quant. Spectrosc. Radiat. Transf.* 2018. V. 214. P. 94–119. DOI: 10.1016/j.jqsrt.2018.04.027
- [9] Beckemper S., Huang J., Gillner A.D., Wang K. // *JLMN.* 2011. V. 6. N 1. P. 49–53. DOI: 10.2961/jlmn.2011.01.0011
- [10] Ionel L., Zamfirescu M. // *Romanian Rep. Phys.* 2017. V. 69. N 1. P. 402.
- [11] Burrow G.M., Gaylord T.K. // *Micromachines.* 2011. V. 2. N 2. P. 221–257. DOI: 10.3390/mi2020221
- [12] Senthilkumaran P., Masajada J., Sato S. // *Int. J. Opt.* 2012. V. 18. P. 517591. DOI: 10.1155/2012/517591
- [13] Fadeyeva T.A., Rubass A.F., Sokolenko B.V., Volyar A.V. // *J. Opt. A.* 2009. V. 11. N 9. P. 094008. DOI: 10.1088/1464-4258/11/9/094008
- [14] Shostka N.V., Karakchieva O.S., Sokolenko B.V., Shostka V.I. // *J. Phys.: Conf. Ser.* 2019. V. 1400. P. 066028. DOI: 10.1088/1742-6596/1400/6/066028